

AI 기법을 이용한 멀티채널 심전도 신호의 패턴인식 알고리즘

신 건 수, 이 병재, 황 선철, 이 명호

연세대학교 공과대학 전기공학과

An Algorithm for Pattern Recognition of Multichannel ECG Signals using AI

Eun Soo Shin, Byung Chae Lee, Soon Cheol Hwang, Myeong Ho Lee

Dept. of Electrical Engineering, Yonsei University

Abstract

This paper describes an algorithm that can efficiently analyze the multichannel ECG signal using the frame.

The input is a set of significant features (points) which have been extracted from an original sampled signal by using the split and merge algorithm. A signal from each channel can be hierarchically decomposed to produce a hierarchical AND/OR graph on the basis of the priori knowledge for ECG signal. The search mechanism with some heuristics and the mixed paradigm of data-driven hypothesis formation are used as the major control mechanisms. The mutual relations among features are also considered by evaluating a score based on the relational spectrum. For recognition of morphologies corresponding to OR nodes, an hypothesis modification strategy is used. Other techniques such as instance, priority update of prototypes, and template matching facility are also used.

This algorithm exactly recognized the primary points and supporting points from the multichannel ECG signals.

1. 서 론

심전도는 심근의 전기적 활동에 의해 발생된 전위를 기록한 것으로서, 심장내 전기적 흥분이 발생되는 부분의 이상 및 흥분 전도의 이상 등을 알아내는 심장의 임상적인 진단수단으로 널리 사용되고 있다.

이와 같은 심전도 신호를 분석하기 위해 많은 방법이 개발되어 왔다. 이들 방법은 크게

i) 신호처리방법(signal processing technique), ii)
디지털 신호처리 방법(digital filtering technique),

iii) 데이터 압축방법(data compression technique),
iv) 신호변환 방법(signal transformation), v)
선택적 분석방법, vi) 생성규칙시스템 (production
rule system) 등으로 분류할 수 있다.

그러나 i) ~ iv) 방법은 정량적인 자료를 근거로하여
심전도 신호를 분석하기 때문에 신호분석에서 매우 중
요한 구조적 정보를 고려하지 못하는 단점을 내포하고
있다. 그리고 vi) 방법은 생성그래마(production
grammar)에 근거를 둘 파싱(parsing)의 애매모호로 인
해 시간이 많이 소비되는 단점은 있으나 특성점은 정
확히 추출할 수 있는 장점을 갖고 있다. 또한 vi) 방법
은 인공지능기법을 사용한 방법이지만 심전도 신호의 구
조를 표현하기엔 부적합하고 지식베이스의 내용을 저
장, 수정, 그리고 삭제하기에 불편한 단점을 갖고 있다.
또한 이를 방법을 이용한 알고리즘은 하나의 해설을
통해 기록한 심전도 신호를 인식하고 분류하기 때문에
, 심전도 신호가 노이즈에 심하게 오염되거나 신호의
일부분이 손실될 경우 심전도 신호를 정확히 분석할
수 없었다.

그리고 내가 의는 심전도 신호 분석할 때, 신호의 국부
적인 특징을 고려하기에 앞서 신호의 구조와 전반적인
특성점(예를 들어, P파, Q파, R파, S파, T파)을 탐색
한다. 그런 후 전반적인 특성점을 토대로 가설을 설정

하고, 그것을 이용하여 신호의 국부적인 특징들을 조사한다. 그러나 종전의 알고리즘은 이와 같은 방법으로 신호를 분석할 수 없었다.

따라서 본 연구에서는 예전까지 신경재활기법을 도입하고 디중재널을 통해 기록한 신전도 신호를 분석함으로써 인간의 분석방법과 유사하고 한 체계에서 신호가 노이즈에 의해 신하게 표현되거나 일부분이 손실된 경우에도 신전도신호를 효율적으로 분석할 수 있는 알고리즘을 설계하고자 한다.

2. 신형근사화 알고리즘

기록한 신전도 신호로부터 주변값을 신속하게 위해 신형근사화 알고리즘을 선택하였다. 신형근사화 알고리즘은 피형이 갖는 특징들의 크기의 분포에 관계없이 근사화가 가능하며, 간접적으로 학습정문에 따른 적은 라이브들을 제거할 수 있다. 또한 이 방법은 기울기, 국대점의 위치, 지속기동과 같은 라이브에 대한 휴용한 정보를 제공한다. 본 연구에서는 신형근사화를 수행하기 위해 초기 세그먼트(segment)를 단위로 신경을 수 있고, 실행속도도 빠른 “split and merge” 알고리즘을 사용하였다.

3. 신전도 신호의 묘사

3.1 AND/OR 계층도의 구성

심전도 신호는 습관적속성을 갖는 세그먼트로 구성되어 있다. 또한 한 세그먼트는 예전처럼 띠아웃(cycle)로 이루어져 있으며, 각 띠아웃은 P파, QRS complex, T파로 구성되어 있다. 그리고 QRS complex는 파(Q-wave, R-wave, S-wave)로 구성되며, 파는 절들의 합으로 구성되어 있다.

그러므로 심전도신호는 분석에 용이한 신호묘사를 위해 신호를 구성하는 요소의 실질적인 구조를 고려한 분해가 가능하다. 이와같이 분해된 신호의 구성요소를 이용하여 AND/OR 계층도를 구성한다.

3.2 신전도에 관한 프레임묘사

프레임은 다른 프레임과의 관계와 프레임의 성질을 이용하여, 신의 대상에 관한 지식을 표시하는 자료형 방법이다. 프레임구조는 프레임구조간에 계층적 경계를 갖기 때문에 AND/OR 계층도로 구성된 신전도 신호를 표시하는데 있어 매우 편리하고 간단하다. 또한 핵심과 경계가 프레임의 슬롯(slot)에 부착된 프로시저(procedure:domain)라고도 함)에 의해 지식을 저장(if-needed), 지식삭제(if-deleted), 지식참가(if-added)와 같은 학습작업이 원활한 경계를 맺는다. 따라서 본 연구에서는 AND/OR 계층도를 구성하는 기본 프레임간 경계를 표시하는 지속기동(frame)을 통하여 신호정보를 프레임구조로 표기했다. 이를 기본 프레임과 함께 prototype frame称之为하고 기본프레임 대상의 베이스에 저장된다.

또한 입력데이터가 어떠한 모순없이 기본프레임과 부딪기으로 또는 원본이 일치할 때 그 기본프레임이 활성화되어, 새 프레임(new frame)이 발생된다. 이 새프레임은 새프레임 대상의 베이스에 저장된다.

4. 제어 구조

제어 구조(control mechanism)는 AND/OR 계층도의 구조 노드(front node)에서 가지 노드(leaf node)에 이르는 경로를 따라 입력 데이터와 일치하는 일련의 기본프레임을 예상화하는 과정을 세어하는 구조로서 감정적인 주요 포인트(primary points:R 띠아웃, T 띠아웃, P 띠아웃)를 탐색하는 단계와 이를 주요 포인트를 확장하기 위해 셀포터(supporter)를 찾는 단계로 구성되었다.

4.1 단계도(staged graph)의 구성

심전도를 분석함에 있어 R, P 띠아웃, R 띠아웃, T 띠아웃은 중요한 역할을 가진다. 이를을 주요 포인트

라 한다. 이를 주요 포인트에 대한 후보 포인트(candidate point)를 선택하기 위해선 각 축 상점의 국부적 경길을 고려해야 한다. 전형적인 심전도에서 이를 주요포인트는 다른 축 상점에 비해 그들이 평균에 후보 포인트로의 폭포(amplitude), 각 축 방향의 피아크(positive peak)를 선택하였다. 그러나 이를 통해 강조관계를 고려하지 않고 모든 특성값을 시험하는 것은 많은 불필요성을 초래한다. 이를 방지하기 위해 단계도를 다음과 같이 구성한다.

- (1) 신호의 특성값을 양의 피아크로 구성되는 MAXP 그룹과 음의 피아크로 구성되는 MINP 그룹으로 나누어 이를 입력 데이터로 하여 각각의 경길에 대해.
- (2) MAXP 그룹에 속하는 모든 점은 모두 주요포인트에 대한 후보포인트가 될 수 있다. 따라서 이를 P 피아크층, R 피아크층, T 피아크층에 일렬로 배열한다.
- (3) R 피아크 층에 있는 각 노드에 대해, T피아크층에 놓여 있는 노드 중 R 피아크와 T 피아크 간에 설정된 시간간격 제한(time interval constraint)을 만족하는 노드를 선택하여 그들을 서로 연결한다.
- (4) T 피아크 층에 있는 노드와 연결된 R 피아크 층에 있는 노드에 대해 P-R 시간간격 제한을 만족하는 P 피아크 층에 놓여 있는 노드를 발견하여, 그들을 서로 연결한다.

이와 같은 방법으로 각 층에서 서로 연결된 노드를 각 주요 포인트에 대한 후보 포인트로 선택한다.

4.2 탐색 순서

AND/OR 계층도의 탐색을 효율적으로 수행하기 위해 각 노드에 순서(order)를 할당하여야 한다. 본 연구에서는 좀 더 유망한 노드에 좀 더 높은 우선순위(priority)를 부여하는 형태로 각 노드에 탐색 순서를 할당했다.

또한 노드간의 탐색은 차를 평가하기 어려운 노드에는 같은 탐색 순서를 할당했다. 심전도 신호를 좀 더 세밀하게 관찰함으로써, 신호를 구성하는 특성값은 R파이크, T 피아크, P파이크의 순서로 이를 피아크를 선식하는 것이 편리함을 알 수 있다. 따라서 본 연구에서는 R 피아크, T 피아크, 그리고 P 피아크에 각각 1, 2, 3의 순서를 할당하였다.

4.3 예시화 과정(Instantiation Process)

(1) 단계도의 탐색(Searching the layered graph)

단계도를 구성하고 주요길에 대한 후보 포인트를 선택한 후, 단계도를 탐색함으로써 후보 포인트로부터 주요길을 추출할 수 있다. 단계도의 탐색은 차는 먼저, R 피아크 층이 탐색되고, 그 다음에 T 피아크, P 피아크 층 순으로 수행된다. 즉, R 피아크 층에 있는 신호 노드가 R 피아크라 판정되면, 그 노드가 연결된 T 피아크 층의 노드를 탐색하여 그 노드가 예시화되면 다시 P 피아크 층의 노드를 탐색한다. 이를 주요길이 탐색됨으로써 본 식증인 신호를 여러개의 서브인도(subindoe)로 분할할 수 있다.

따라서 우리는 subindoe 1에서 P beg, subindoe 2에서 P end, Q beg, R beg, subindoe 3에서 R end, S beg, T beg, subindoe 4에서 T end를 예시화할 수 있다. 결과적으로 이와 같은 신호분할에 의해 후보 포인트가 주요길임을 확인하기 위해 씨포팅 포인트(supporting point)를 예시화하는 탐색 공간을 축소시킬 수 있다.

(2) 가설수정회로

심전도 신호에는 여러 형태의 QRS complex가 존재한다. 초기에는 가능한 가설(Hypotheses) 중 가장 높은 우선순위를 갖는 가설이 설정된다. 예시화를 수행하는 동안, 현재 설정된 가설에 의하여 이루어진 모든 예견(Prediction)이 예시화 되면, 그 가설이 성취된다. 그러나 몇몇 예견이 예시화되지 않으면, 현재 설정된 가설이 수정되어야 한다. 이와 동시에 초기에

각 형태에 할당된 우선 순위도 수정되어야 한다. 이것은 가설수정망(Hypotheses Modification Network)에 의해 이루어진다. 일반적으로, 가설수정망은 노드와 링크(link)로 구성되며, 기준형간의 형태적 차이를 고려하여 설계하였다.

가설을 수정하는 과정은 양방향(Bidirectional)이며, 예시화 과정이 실패한 천가설에 연결된 노드와 함께 이상일 때는 각 노드에 할당된 우선순위가 가장 높은 가설로 천가설을 수정한다.

(3) 예시화 과정의 개승

하나의 천설의 가설수정망에 의해 대체나설로 수정되었을 때, 부모노드(parents node)가 천기설의 수정된 기설을 통지해 포함하는 자녀노드(children node)가 조정하는 경우에는 천기설에 의해 예시화된 예시프레임을 모두 폐기하는 것보다 특정한 예시프레임을 폐제가 전부 적용으로써 탐색과정에 대처 노력을 줄약할 수 있다. 예시프레임의 개승은 프레임간의 예증 각관계를 나타내는 포인터(pointer), 즉 상향포인터(APO, upward pointer, a kind-of)와 하향포인터(APD(data and pointer, a part of)를 새롭게 수정함으로써 이루어진다.

5. 실 험

본 연구에서는 신전도 신호를 분석하기 위해, 입력자형을 240Hz로 샘플링하여 디지털 신호로 변환하였다. 이와같이 변환된 신호를 더욱 초음적으로 처리하기 위해 선형근사화하여, 구분점을 인식한다. 이를 구분점을 MAXP그룹과 MINP그룹으로 나눈 후, 주3. 포인트에 대한 후보노드를 선택하기 위해 단계도를 구성하였다. 후보노드중 주요점을 인식하기 위해 기본프레임을 토대로 AND/OR계층도를 따라 예시화과정을 수행하였다. 그림 1은 신전도 신호를 분석하기 위해 본 논문에서 제안한 알고리즘을 적용한 결과는 그림 2와 같다. 그림 2는 정상인의 신전도를 나타낸 것으로 그림상에 표시된 “x” 표기는 split and merge 알고리즘에 의해 분리된 세그먼트의 시작점과 끝점을 나타낸다. 그림 3은 선형근사화 알고리즘에 의해 얻어진 세그먼트의 수, 양끝점의 좌표, 선형근사식의 기울기와 절편을 나타낸 것이다. 최종적으로 본 알고리즘을 그림 2의 신호에 적용하여 얻은 결과는 그림 4와 같다.

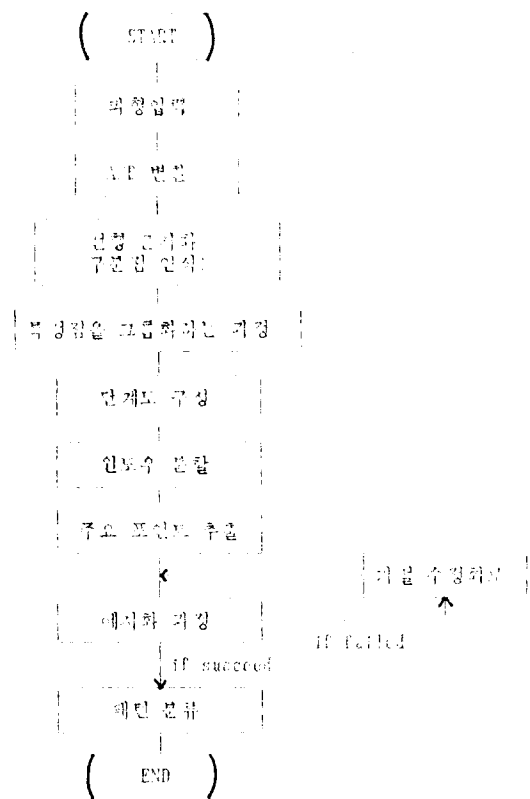


그림 1 신전도 분석을 위한 알고리즘의 흐름도.

6. 결 과 고찰

위에서 소개한 방법으로 환자에게 검출한 신호에 대해 본 연구에서 제안한 신전도 신호분석 알고리즘의 일부인 선형근사화 알고리즘을 적용한 결과는 그림 1과 같다. 그림 2는 정상인의 신전도를 나타낸 것으로 그림상에 표시된 “x” 표기는 split and merge 알고리즘에 의해 분리된 세그먼트의 시작점과 끝점을 나타낸다. 그림 3은 선형근사화 알고리즘에 의해 얻어진 세그먼트의 수, 양끝점의 좌표, 선형근사식의 기울기와 절편을 나타낸 것이다. 최종적으로 본 알고리즘을 그림 2의 신호에 적용하여 얻은 결과는 그림 4와 같다.

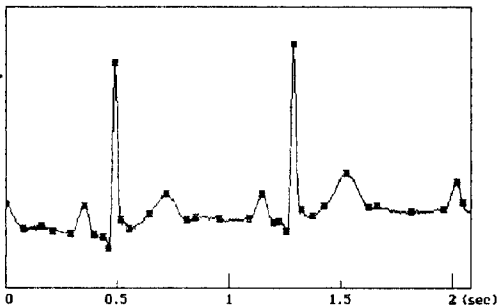


그림 2 Original 심전도 패형과 split and merge 알고리즘의 결과 (*'는 세그먼트의 분리점)

```
!date format: (significant-point id., sample no., amplitude,
  slope, point-type)
( 1 19 -21 -2.5000 df)
( 2 39 -15 0.5000 ff)
( 3 51 -25 -0.8333 ff)
( 4 70 -29 -0.2105 fd)
( 5 85 19 3.2000 fd)
( 6 95 -31 -5.0000 df)
( 7 105 -37 -0.6000 fd)
( 8 111 -55 -3.0000 fd)
( 9 118 277 47.4286 fd)
(10 124 -6 -47.1667 fd)
(11 133 -21 -1.6667 fd)
(12 155 4 1.1364 uu)
(13 173 42 2.1111 fd)
(14 195 -6 -2.1818 df)
(15 205 0 0.6000 ff)
(16 230 -4 -0.1600 ff)
(17 262 -4 0.0000 fu)
(18 276 42 3.2857 fd)
(19 288 -10 -4.3333 df)
(20 294 -9 0.1667 fd)
(21 302 -25 -2.0000 fd)
(22 310 308 41.6250 fd)
(23 318 13 -36.8750 fd)
(24 330 1 -1.0000 fd)
(25 342 18 1.4167 uu)
(26 366 76 2.4167 fd)
(27 390 17 -2.4583 df)
(28 399 20 0.3333 ff)
(29 436 10 -0.2703 ff)
(30 471 13 0.0857 fu)
(31 485 61 3.4286 fd)
```

그림 3 선형근사화 알고리즘에 의해 추출된 신호정보

```
*(result)
(cycle1)
(P-beat--> ( 4 70 -29 -0.2105 fu)
(P-peal--> ( 5 85 19 3.2000 fd)
(P-end--> ( 6 95 -31 -5.0000 df)
(Q-beat--> ( 7 105 -37 -0.6000 fd)
(Q-peal--> ( 8 111 -55 -3.0000 fd)
(R-peal--> ( 9 118 277 47.4286 fd)
(S-peal--> (11 133 -21 -1.6667 fd)
(S-end--> (12 155 4 1.1364 uu)
(T-beat--> (12 155 4 1.1364 uu)
(T-peal--> (13 173 42 2.1111 fd)
(T-end--> (14 195 -6 -2.1818 df)

(PR-interval 150(ms))
(QRS-interval 212.5(ms))

(cycle2)
(P-beat--> (17 262 -4 0.0000 fu)
(P-peal--> (18 276 42 3.2857 fd)
(P-end--> (19 288 -10 -4.3333 df)
(Q-beat--> (20 294 -9 0.1667 fd)
(Q-peal--> (21 302 -25 -2.0000 fd)
(R-peal--> (22 310 308 41.6250 fd)
(S-peal--> (24 330 1 -1.0000 fd)
(S-end--> (25 342 18 1.4167 uu)
(T-beat--> (25 342 18 1.4167 uu)
(T-peal--> (26 366 76 2.4167 fd)
(T-end--> (27 390 17 -2.4583 df)

(PR-interval 137.5(ms))
(QRS-interval 204.2(ms))
```

그림 4 본 연구에서 제안한 알고리즘을 적용하여 얻은 결과

7. 결론

본 알고리즘을 적용하여 얻어진 결론은 다음과 같다.

(1) 기선을 결정할 때 대마다 구동방법과 모델 구동방법을 사용함으로써 대과의가 심전도 신호를 분석하는 방법과 유사하게 심전도 신호를 분석할 수 있었으며, 템포 시간을 충실히 수 있었다.

(2) 기선수정학으로, 에너지제곱의 계승, 시그널도수 분할과 같은 인공지능기법을 사용함으로써 행상강화기로 맴보다 학습공간을 충실히 수 있었다.

(3) 심전도 신호의 구조적 정보를 표시하기 위해, 그에 맞는 지식표현방법을 사용함으로써 지식저장, 지식검색, 지식찾기와 같은 지식교작의 편리화다.

(4) 본 알고리즘은 디중재설을 통해 기록한 심전도 신호를 분석함으로써 천재설의 신호가 트위스트에 분리해 오염되거나 신호의 일부분이 손실될 경우에도 심전도 신호를 강화해 인식할 수 있었다.

8. 참고문헌

- [1] Jaafar Watuk, M.D. Sari, "Computers in Electrocardiography", Charles C. Thomas, Publisher, 1970.
- [2] E. Skodollik, "Statistic ECG processing: A review", Pattern Recognition, Vol. 12, No. 4, pp. 305-319, 1979.
- [3] T. Pavlidis, "Structural Pattern Recognition", Springer Verlag, pp. 147-215, 1977.
- [4] Winston, P.M., Horn, B.K., "Lisp", Addison Wesley, 1981.
- [5] Nilsson, N.J., "Principles of Artificial Intelligence", Tioga Publishing Co., 1980.
- [6] Kenneth P. Birman, "Rule-based Learning for More Accurate ECG Analysis", IEEE Trans. PAMI 4, , 1982.
- [7] Lee, H.S., Thakor, N.V., "Frame-based understanding of ECG signals", Proc. of First Conference on Artificial Intelligence Application, pp. 624-629, 1984.